

# بررسی مشکلات تحلیلی دال‌های پس‌کشیده‌ی بتقی به کمک تحلیل اجزای محدود

علیرضا خانو<sup>\*</sup> (استاد)

محمد رضا جوانهردی (کارشناس ارشد)

دانشکده‌ی مهندسی عمران، دانشگاه صنعتی شریف

طراحی این و اقتضادی همواره مورد توجه محققان قرار گرفته است و به تعیین آن آئین نامه‌های مختلف در زمینه‌های گوناگون ایجاد شده‌اند. در این میان، آئین نامه‌ی ۵ ACI<sup>۳۱۸-۲۰۰۵</sup> تأکید بر قرارگیری دال‌های بتقی پس‌کشیده در تراکت خورده دارد (بند ۱۸.۳.۳ آئین نامه ۲۰۰۵-ACI318)، به گونه‌ی که مقطع کاملاً در حالت انتقال و بهره‌برداری بدون ترک باشد. همچنین دال پس‌کشیده دوطرفه باید در هر دو راستا، برای ۱۰٪ بار پس‌کشیده شود و این به معنای یک طرفه در نظر گرفتن رفتار این گونه دال‌هاست. در این نوشتار، برای بررسی موارد مذکور، دال‌های پس‌کشیده با دهانه‌های مختلف تحت شدت بارهای گوناگون قرار گرفته و طراحی شده‌اند. سپس دال طراحی شده با استفاده از مدل آسیب خمیری همسان‌گرد لی و فنویزیز برای بتقی و روش اجزای محدود شبیه‌سازی عددی می‌شود. نتایج بدست آمده از شبیه‌سازی عددی حاکی از عدم برآورده شدن بند‌هایی از آئین نامه ۵ ACI<sup>۳۱۸-۲۰۰۵</sup> از جمله ترک خوردن دال در حالت انتقال و بهره‌برداری است. همچنین پس‌تیده کردن زیاد سبب ایجاد خیز منفی می‌شود که باعث غیراقتصادی شدن طرح می‌شود.

**واژگان کلیدی:** دال پس‌کشیده، مدل آسیب خمیری همسان‌گرد، شبیه‌سازی عددی، روش اجزای محدود.

khaloo@sharif.edu  
javannardi@alum.sharif.edu

## ۱. مقدمه

دال‌ها را یک‌طرفه در نظر می‌گیریم. آئین نامه ۵ ACI<sup>۳۱۸-۲۰۰۵</sup>، ۳ بند کلی برای تعیین کمینه‌ی ضخامت دال‌های تخت بیان می‌کند:

۱. کمینه‌ی ضخامت دال باید بزرگ‌تر از  $45/L$  باشد، که  $L$  طول بزرگ‌ترین دهانه‌ی آزاد دال است.
۲. کترل تنش‌های کششی و فشاری در دو حالت انتقال و بهره‌برداری.
۳. کترل تغییرمکان و خیز به وجود آمده در دال‌ها با رابطه‌های تجربی و یا تجزیه و تحلیل دقیق تر رایانه‌ی.

البته در طراحی دال باید برش سوراخ‌کننده‌ی دال و حالت نهایی دال نیز بررسی شود و در صورت برآورده نشدن ضوابط آئین نامه، میلگرد‌های طولی و برشی لازم تعییه شود. با توجه به اینکه تغییرمکان دال را می‌توان با شایعه دقیق تر تحلیل اجرای اجزاء محدود بررسی کرد، در اینجا فقط به بررسی ضوابط آئین نامه در کترول تنش‌های کششی و فشاری در دو حالت انتقال و بهره‌برداری می‌پردازم. در تحلیل مقطع پس‌کشیده از فرضیه‌ی بار معادل استفاده می‌شود. نیروی موجود در تاندون‌ها باعث به وجود آمدن یک ممان در کل تیر می‌شود. در روش بار معادل می‌توان به جای این ممان از بار معادلی استفاده کرد که این ممان را در عضو به وجود آورده است. براساس این فرضیه نیروی موجود در تاندون‌ها با یک بار به سمت بالا جایگزین می‌شود. با توجه به اینکه

استفاده از دال‌های بتقی پس‌کشیده‌ی یک‌سره در ساختمان‌ها در کشور، رو به افزایش است و اغلب به دلیل یک‌سره بودن همانند دیگر سازه‌های یک‌سره باعث کترشدن خیز می‌شود. بنابراین، در اعضای یک‌سره نه فقط از نظر مقاومت بلکه به لحاظ دهانه‌ی سختی نیز احتیاج به عمق کمتری است. علی‌رغم مزایای ذکر شده، اعضای یک‌سره دارای معایبی نیز هستند و در بعضی موارد امکان طرح مقرن به صرفه و اقتصادی بتقی پس‌کشیده وجود ندارد.<sup>[۱]</sup> در نوشتار حاضر، سقف‌هایی با دو دهانه به صورت پس‌کشیده در نظر گرفته شده است و در حین طراحی به کمک آئین نامه ۵ ACI<sup>۳۱۸-۲۰۰۵</sup> و با هدف اقتصادی کردن طرح، دال‌های پس‌کشیده در شرایط انتقال بهره‌برداری و نهایی بررسی شدند.

طبق ضوابط آئین نامه‌های موجود، دال‌های بتقی باید برای سه حالت انتقال، بهره‌برداری، و نهایی طراحی شوند. آئین نامه ۵ ACI<sup>۳۱۸-۲۰۰۵</sup> تأکید می‌کند که دال‌های پس‌کشیده‌ی بتقی باید در کلاس U (بدون ترک) آئین نامه قرار بگیرند (بند ۱۸.۳.۳) یعنی مقطع کاملاً باید بدون ترک باشد. به علاوه، دال پس‌کشیده باید در هر دو راستا برای ۱۰٪ بار پس‌کشیده شود و این به معنای این است که رفتار این گونه

\* نویسنده مسئول  
تاریخ: دریافت ۵/۳/۱۳۸۹، اصلاحیه ۲۴، پذیرش ۲/۹/۱۳۸۹.

که در رابطه‌ی ۵، مقاومت کششی مشخصه‌ی فولاد پس‌کشیدگی است. بیشینه‌ی مؤثر لازم ( $F_e$ ) برای متعادل کردن بار  $W$  برابر است با (رابطه‌های ۱ تا ۳):<sup>[۲]</sup>

$$\text{تش در دورترین تار فشاری} \quad (6) \quad ۰/۶ f'_{ci}$$

$$\text{تش در دورترین تار کششی} \quad (7) \quad ۰/۲۵ \sqrt{f'_{ci}}$$

که در رابطه‌های ۶ و ۷، مقاومت اولیه بتن است و تقریباً برابر  $۷/۷ f'_c$  و  $f'_c$  مقاومت نهایی بتن در فشار است.<sup>[۵-۲]</sup>

#### ۴. تحلیل دال‌های پس‌کشیده در حالت بهره‌برداری

حالت بهره‌برداری حالتی است که در آن کلیه بارها بدون ضرب (مرده، زنده و روسازی) و نیروی پس‌تندیگی با درنظرگرفتن کلیه افت‌ها در سازه وجود دارد. این نیرو که نیروی پس‌تندیگی مؤثر ( $F_{se}$ ) نامیده می‌شود از رابطه‌ی ۸ بدست می‌آید:<sup>[۲]</sup>

$$F_{se} = ۰/۷۵ F_{pj} \quad (8)$$

بیشینه‌ی تش‌ها در حالت بهره‌برداری از رابطه‌های ۹ و ۱۰ بدست می‌آید (بند ۱۸.۴.۲ و ۱۸.۳.۳):

$$\text{تش در دورترین تار فشاری} \quad (9) \quad ۰/۴۵ f'_c$$

$$\text{تش در دورترین تار کششی} \quad (10) \quad ۰/۶۲ \sqrt{f'_{ci}}$$

#### ۵. طراحی دال‌های پس‌کشیده در حالت نهایی

تحلیل سقف پس‌کشیده در حالت نهایی برای بارهای ضرب‌دار به کمک با لوک معادل مشابه اعضای بتن آرمه، و با درنظرداشتن بیشینه‌ی مقادیر لنگرهای منفی در ابتداء و انتهای هر دهانه برای بارهای ضرب‌دار انجام می‌شود. بارهای ضرب‌دار طبق آین نامه از رابطه‌ی ۱۱ محاسبه می‌شوند.<sup>[۲]</sup>

$$W_u = ۱/۲ W_D + ۱/۶ W_L \quad (11)$$

در تحلیل این دال‌ها با دو نوع ممان رو برو هستیم: ممان‌های اولیه و ناوبه. ممان‌های اولیه ( $M_1$ ) برابر با نیروی پس‌کشیدگی مؤثر در خروج از مرکزیت تاندون است (رابطه‌ی ۱۲). ممان‌های ثانویه ( $M_2$ ) از کردن ممان‌های بالائی شده که از طریق بار  $W_{bal}$  به وجود آمده‌اند، از ممان اولیه به دست می‌آیند (رابطه‌ی ۱۳):<sup>[۲]</sup>

$$M_1 = F_{se} \times e \quad (12)$$

$$M_{bal} = M_1 + M_2 \Rightarrow M_2 = M_{bal} - M_1 \quad (13)$$

پس از تعیین ممان‌های ثانویه، ممان‌های به وجود آمده بر اثر بار با ضرب  $W_u$  را محاسبه می‌کنیم و آن را  $M_{utot}$  می‌نامیم و دال را باید برای ممان  $M_u$  (رابطه‌ی ۱۴) طراحی کنیم:<sup>[۲]</sup>

$$M_u = M_{utot} - M_2 \quad (14)$$

لنگر ضرب‌دار مقطع است. همچنین مشخص است که در طراحی دال‌ها در تکیه‌گاه‌ها، ممان طراحی در بر ستون درنظر گرفته می‌شود و طبق آین نامه می‌توان سهم نوار ستونی را ۷۵٪ ممان کل درنظر گرفت. پس از محاسبه‌ی نیروی موجود در

در دال‌ها پروفیل تاندون همانند اعضای یکسره است، مقدار کل نیروی پس‌کشیدگی مؤثر لازم ( $F_e$ ) برای متعادل کردن بار  $W$  برابر است با (رابطه‌های ۱ تا ۳):<sup>[۲]</sup>

$$F_e = W l^r / ۸y \quad (11)$$

$$N = F_e / F_{se} \quad (2)$$

$$W_{bal} = ۸F_{se} Ny / l^r \quad (3)$$

در رابطه‌های ۱ تا ۳،  $N$  نیروی پس‌کشیدگی مؤثر یک تاندون،  $W$  بار کل،  $y$  بیشینه‌ی خیز تاندون،  $F_e$  کل نیروی پس‌کشیدگی مؤثر لازم،  $bar$  بالائی شده توسط کل تاندون‌ها که معمولاً برابر کل بار مرده درنظر گرفته می‌شود،  $l$  طول دهانه و  $N$  تعداد تاندون‌هاست. در دال‌های پس‌کشیده معمولاً کل وزن مرده‌ی دال و درصدی از بار زنده به وسیله‌ی فولادهای پس‌کشیده متعادل می‌شود (در کلیه رابطه‌ها، نیروی موجود در تاندون‌ها و میلگرددها با حروف بزرگ و تش معادل آن با حروف کوچک نشان داده شده است).

طبق آین نامه تنها روش مجاز برای تحلیل دال‌های پس‌کشیده و پیش‌کشیده، روش قاب معادل است (بند ۱۸.۱۲.۱). پس در ابتداء باید با استفاده از این روش ممان‌های دال در حالت‌های بهره‌برداری، انتقال و نهایی تعیین شوند و پس از آن به مقایسه‌ی تش‌های به وجود آمده در مقطع در حالت‌های مختلف با مقادیر مجاز آین نامه بی پردازیم، درنهایت، با استفاده از یک مدل آسیب خمیری همسان‌گرد برای بتن، به شبیه‌سازی عددی دال‌های طراحی شده با استفاده از روش اجرای محدود می‌پردازیم. مدل آسیب خمیری می‌تواند تأثیر رشد و گسترش ریز عیوب و خرابی را در کنار رفتار خمیری ماده درنظر گیرد و استفاده از این‌گونه مدل‌ها در شبیه‌سازی عددی رفتار موادی نظریه‌بن که ترک‌خورده و خرابی در آن‌ها نقش مهمی را ایفا می‌کند، می‌تواند به شبیه‌سازی بهتر ماده بینجامد.

#### ۲. روش قاب معادل

برای تعیین لنگرهای بهره‌برداری، انتقال و نهایی دال پس‌کشیده، آین نامه ACI ۳۱۸-۲۰۰۵<sup>[۲]</sup> توصیه به استفاده از روش قاب معادل دارد. در این روش قاب‌ها به صورت زیرقاب و مجرزا درنظر گرفته می‌شوند و طراحی فقط برای بارهای قلای و با توجه به سختی اعضای قاب صورت می‌گیرد. بدین منظور باید سختی در اعضای مختلف این قاب (ستون‌ها، اعضای پیچشی، دال‌ها) تعیین شود و پس از آن با استفاده از روش پخش ممان، ممان‌های موجود در دال محاسبه شود.<sup>[۲]</sup>

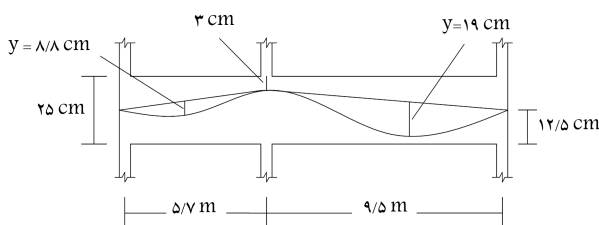
#### ۳. تحلیل دال‌های پس‌کشیده در حالت انتقال

حالت انتقال در سازه‌های بتنی پیش‌کشیده و پس‌کشیده، حالتی است که در آن نیروی تاندون‌ها ( $F_e$ ) برابر با ۰/۹ نیروی جک‌زدن ( $F_{pj}$ ) است (رابطه‌ی ۴)، و همچنین وزن مرده‌ی دال در محاسبه‌ی لنگرهای تکیه‌گاهی درنظر گرفته می‌شود. سایر بارهای (بارهای زنده و روسازی) در این مرحله از تحلیل درنظر گرفته نمی‌شوند.<sup>[۲]</sup>

$$F_t = ۰/۹ F_{pj} \quad (4)$$

نیروی جک‌زدن در سازه‌های پس‌کشیده تقریباً برابر است با:<sup>[۲]</sup>

$$F_{pj} = ۰/۹ F_{pu} \quad (5)$$



شکل ۲. پروفیل تاندون‌ها در راستای محور  $x$  در مثال ۱.

۱۸۸/۶	۱۸۸/۶	۱۰۸/۱	۱۰۸/۱
۱۲۱/۳		۲۰۲/۳	۱۲۱/۳

شکل ۳. مقادیر سختی در نوار ستونی دال و ستون‌ها ( $N/mm^2$ ).

۰/۵۲	۰/۳۱	۰/۱۸	۰/۳۸
۲۹/۹۵	۱۷۶/۳	۲۸۰/۹۲	۱۷۴

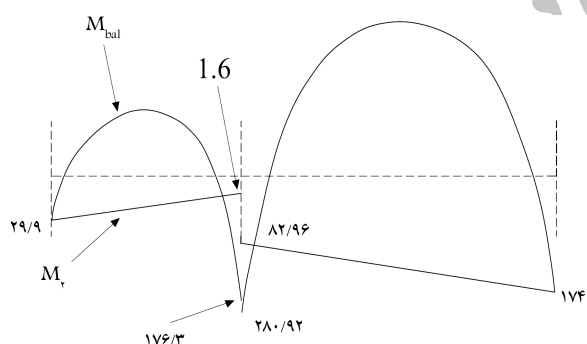
شکل ۴. مقادیر ضرایب پخش.

$W_{bal} = ۲۵/۹ kN/m$			
۰/۵۲	۰/۳۱	۰/۱۸	۰/۳۸
۲۹/۹۵	۱۷۶/۳	۲۸۰/۹۲	۱۷۴

شکل ۵. لنگرهای منفی تکیه‌گاهی در حالت بهره‌برداری.

$W_i = ۹/۴۵ kN/m$			
۰/۵۲	۰/۳۱	۰/۱۸	۰/۳۸
۸/۰/۷	۴۷/۵۱	۷۵/۷	۴۶/۹

شکل ۶. لنگرهای مثبت تکیه‌گاهی در حالت انتقال.



شکل ۷. دیاگرام لنگر بار معادل دال پس‌کشیده (kN.m).

در جدول ۲ نیز مقادیر ممان‌های ضریب‌دار، ممان‌های اولیه و ثانویه و ممان‌های طراحی دال آورده شده است. در جدول ۲، در کاربری مسکونی از ۱۵ تاندون و در کاربری پارکینگ از ۱۹ تاندون استفاده شده است.

خلاصه‌ی تابع تحلیل و طراحی در جدول ۳ آورده شده است. مقادیر مجاز تنش کششی و فشاری بیشینه نیز برای بتون با مقاومت  $50 \text{ MPa}$  باسکال در جدول ۴ آورده شده است.

کنترل برش سوراخ‌کننده‌ی دال نیز مطابق ضوابط آینه‌نامه چک شده است و دال ضوابط آینه‌نامه را رعایت می‌کند. با توجه به اینکه در جهت دیگر نیز باید به

فولادهای پس‌کشیدگی به محاسبه‌ی ممان نهایی مقطع می‌پردازیم،<sup>[۲]</sup> و در نهایت باید نسبت لنگر ضریب دار مقطع به لنگر اسمی مقطع، کوچک‌تر از ضریب کاهش مقاومت آینه‌نامه شود.

## ۶. طراحی دال‌های پس‌کشیده برواساس آینه‌نامه

حال به طراحی چند دال با دهانه‌های مختلف تحت بارگذاری‌های گوناگون (دو کاربری مسکونی و پارکینگ) می‌پردازیم.

### ۱.۶. مثال ۱

پلان این دال میانی در شکل ۱ نشان داده شده است. ارتفاع ستون‌ها  $3/5$  متر و ضخامت دال را با توجه به رابطه‌ی  $L/250 = ۴/۵$  میلی‌متر در نظر گرفته‌ایم. مشخصات مصالح مصرفی در جدول ۱ آورده شده است. پروفیل تاندون‌ها در راستای محور  $x$  در شکل ۲ نشان داده شده است.

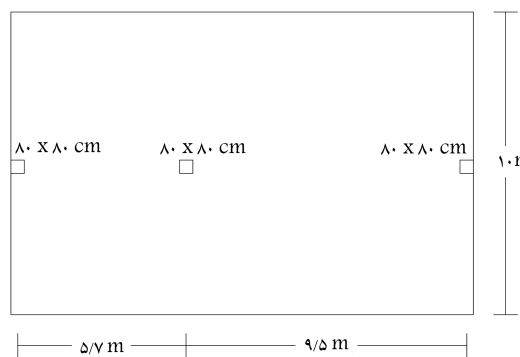
برای پس‌کشیده‌کردن از فولادهای پس‌کشیدگی رتبه‌ی  $۲۷۰$  با سطح مقطع  $140 \text{ mm}^2$  استفاده می‌کنیم.

حال به محاسبه‌ی سختی اعضاي قاب معادل می‌پردازیم. مقادیر سختی در نوار ستونی دال و ستون‌ها در شکل ۳ و مقادیر ضرایب پخش دال‌های قاب معادل نیز در شکل ۴ آورده شده‌اند. برای تحلیل از روش پخش ممان استفاده می‌کنیم و مقادیر لنگرهای منفی تکیه‌گاهی بهره‌برداری با استفاده از ۱۵ تاندون در حالتی که کاربری مسکونی باشد در شکل ۵ و مقادیر لنگرهای مثبت تکیه‌گاهی با استفاده از همین مقدار تاندون در حالت انتقال در شکل ۶ نشان داده شده‌اند. مشخص است که در حالت انتقال به دلیل عدم وجود بارهای زنده و قسمتی از بار مرده، در تکیه‌گاه لنگر مثبت به وجود می‌آید.

ممان معادل شده در کنار ممان‌های ثانویه با استفاده از ۱۵ تاندون در حالتی که کاربری مسکونی باشد، در شکل ۷ نشان داده شده است.

جدول ۱. مشخصات مصالح مصرفی در مثال ۱.

$F_{se}$	$F_{pj}$	$F_{pu}$	$f_{pu}$	$f_y$	$f'_c$	عضو
kN	kN	kN	Mpa	Mpa	Mpa	
۱۳۹	۱۸۵/۲	۲۶۴/۶	۱۸۹۰	۴۰۰	۵۰	دال
-	-	-	-	۴۰۰	۷۰	ستون



شکل ۱. پلان مثال ۱.

جدول ۲. مقادیر ممان‌های ضریب‌دار، ممان‌های اولیه و ثانویه و ممان‌های طراحی دال در مثال ۱.

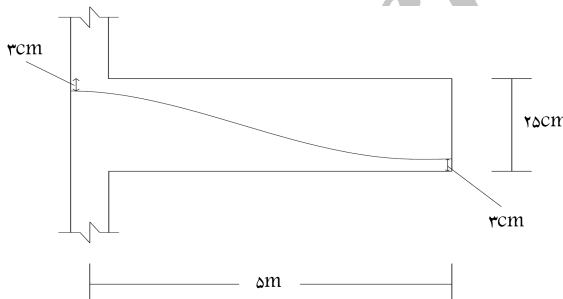
کاربری	نوع لنگر	تکیه‌گاه سمت راست	تکیه‌گاه میانی	تکیه‌گاه سمت چپ
پارکینگ	میان ضریب دار	۷۰,۶۴۶۸	۴۱۵,۹۴۸۷	۶۶۲,۶۴۲۷
	میان اولیه	۰,۰	۲۵۰,۷۴	۰,۰
	میان ثانویه	۳۷,۹۳۶۹۵	-۲۷,۳۷۹۴	۱۰,۰,۹۴
	میان طراحی در مرکز ستون	۳۲,۷۰,۹۸۵	۴۴۳,۳۲۸۱	۵۵۷,۰۵۴۸۷
	میان طراحی در بر ستون	۱۵,۷۰,۰۷۳	۴۲۵,۰۵۹۴۹	۵۳۵,۲۴۶۸
	سهم نوار ستونی٪ ۷۵	۱۱,۷۷۵۵۵	۳۱۹,۱۹۶۲	۴۰,۱,۴۳۵۱
مسکونی	میان ضریب دار	۴۹,۲۴۳	۲۸۹,۹۲۹۱	۶۴۱,۸۸۲۴
	میان اولیه	۰,۰	۱۹۷,۹۵	۰,۰
	میان ثانویه	۲۹,۹۵۰,۲۲	۱,۶۱۵۳	۸۲,۹۶۸۹۲
	میان طراحی در مرکز ستون	۱۹,۲۹۲۷۸	۲۸۸,۳۰,۹۱	۳۷۸,۹۱۳۵
	میان طراحی در بر ستون	۹۶,۸۷۶۲۱	۲۷۶,۷۷۶۷	۲۹۹,۰,۸۲۶
	سهم نوار ستونی٪ ۷۵	۷۲,۶۵۷۱۶	۲۰,۷,۵۸۲۶	۲۲۴,۳۱۲

جدول ۳. خلاصه‌ی نتایج تحلیل و طراحی در راستای محور X در مثال ۱.

میلگرد	بیشترین تنش	بیشترین تنش	بیشترین تنش	بیشترین تنش	تعداد	بارگذاری	
معمولی در	کششی در	فشاری در	فشاری در	کششی در	تاردنونها		
حالت نهایی	بهره برداری (MPa)	بهره برداری (MPa)	انتقال (MPa)	انتقال (MPa)	بار مرده kN/m <sup>2</sup>	بار مرده kN/m <sup>2</sup>	
۱۲Φ۱۲	۸,۰ ۲	۲,۲	۶,۱۱	۰,۰	۲,۰	۷,۴	۱۵
۱۲Φ۱۲	۵,۳	۰,۰	۷,۳	۰,۵	۲,۰	۷,۴	۱۸
۱۲Φ۱۲	۸,۷	۳,۰	۷,۳	۰,۵	۵,۰	۷,۴	۱۸
۱۲Φ۱۲	۸,۴	۲,۳۴	۸,۲	۰,۹۲	۵,۰	۷,۴	۱۹

جدول ٤. مقادیر مجاز تنش کششی و فشاری (MPa).

بنش مجاز	انتقال	بپربرداری
کششی	۱/۵	۴/۴
فشاری	۲۱	۲۲/۵



شکل ۸. پروفیل تاندون در نصف دهانه در راستای محور y.

۲۶۔ مثال ۲

پالان این دال میانی در شکل ۹ نشان داده شده است. ارتفاع سنتون‌ها ۳/۵ متر و ضخامت دال را با توجه به اینکه دال در هر دو جهت دهانه‌ی بلندی دارد و می‌تنش ها قطعاً بیش از حالت قبل می‌شود، ۳۲۵ میلی‌متر در نظر می‌گیریم. مشخصات مصالح مصرفی در حداو، ۱ اورده شده است. «وفا، تاندون‌ها در هر دو راستا

همین‌گونه طراحی شود و اینکه آینه‌نامه و راهنمای آن همچو اشاره‌بی به دو طرفه درنظرگرفتن رفتار این دال‌ها ندارد، دال را در جهت دیگر نیز به همین صورت طراحی می‌کنیم از بیان خلاصه‌ی محاسبات صرف‌نظر و فقط نتایج طراحی را بیان می‌کنیم که این نتایج در جدول ۵ آورده شده است. نتایج مربوط به عرض مؤثر دال در طراحی ستون وسط (۳/۷ متر از دال) است. پروفیل تاندون در نصف دهانه در راستای محور y در شکل ۸ شان داده شده است.

با داشتن این جزئیات در بخش‌های بعدی به مدل‌سازی رایانه‌بی این ماده مهندسی داده به و مناسب و دن خواهی امن‌نامه را در رس، مه، کنیم.

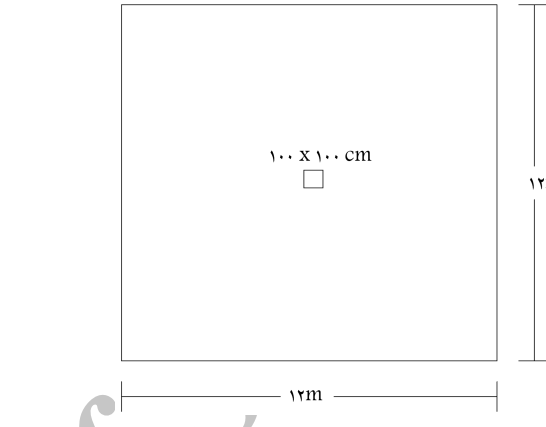
جدول ۵. خلاصه‌ی نتایج تحلیل و طراحی در راستای محور y در مثال ۱.

بارگذاری	تعداد	تندون‌ها	بار مرده	بار زنده	بیشترین تنش	بیشترین تنش	بیشترین تنش	میلگرد
پارکینگ	۲۸	۷/۴	۷/۰	۰/۰	۶/۰	۲/۵	۷/۸۸	۱۶Φ۱۲
مسکونی	۲۳	۷/۴	۷/۰	۰/۰	۹/۳۸	۴/۲۲	۱۰/۸	۲۸Φ۱۲

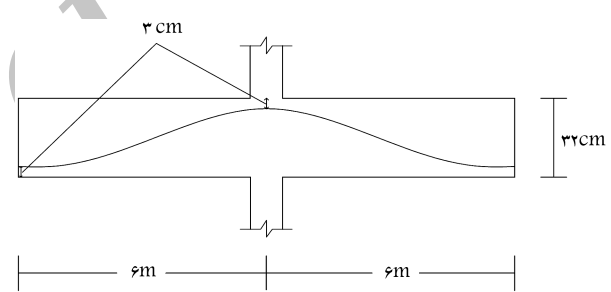
## ۷. شبیه‌سازی عددی دال پس‌کشیده‌ی بتني

در شبیه‌سازی عددی مقاطع بتني علاوه بر مشکلات ذاتی بتن مثل خروش، پیچیده‌بودن رفتار و... با مسئله‌ی تماس بین میلگرد و فولاد نیز رو برو هستیم. این مسئله در مورد فولادهای پس‌کشیده بسیار مهم است و باید شبیه‌سازی خوبی از این تماس صورت گیرد تا بتوان در شبیه‌سازی کامپیوتی رفتار واقعی تری از این اعضا را مشاهده کرد.

لذا با توجه به حجم بالای محاسبات و اینکه در نمونه‌های بتني لازم است تعداد المان به مرتب بیشتری نسبت به نمونه‌های فولادی استفاده شود، این شبیه‌سازی‌ها را با استفاده از نرم‌افزار ABAQUS انجام دهیم. این‌هاستفاده هم‌زمان از مدل‌های خمیری و خرابی در قالب تعریف سطوحی مجزا برای هر کدام، در گذشته تحقیق و بررسی شده است.<sup>[۹-۶]</sup> و بسیاری تلاش شده تا کاربرد این توابع در بررسی رفتار بتن گسترش یابد.<sup>[۱۲-۶]</sup> توابع خمیری به تهابی قادر به نشان‌دادن ضعف ایجاد شده در مصالح ناشی از ترک خودرگی نیستند و در مقابل توابع خرابی نیز قادر به نشان‌دادن کرنش‌های برگشت‌ناپذیر در مصالح نیستند، بنابراین مدلی مناسب برای رفتار بتن که بتواند به طور هم‌زمان تغییرات سختی کشسانی مصالح و کرنش‌های برگشت‌ناپذیر را در مصالح مدل‌سازی کند، باید از ترکیب مدل‌های خرابی و خمیری تشکیل شده باشد که این مدل‌ها به مدل‌های آسیب خمیری معروف‌اند. در این نوشتار برای شبیه‌سازی بتن از مدل آسیب خمیری همسان‌گرد لی و فنویز استفاده می‌شود. در این مدل از دو پیکربندی مختلف استفاده می‌کنیم. پیکربندی با خرابی که مشخصات واقعی ماده مانند تنش و کرنش و مدول کشسانی و ضربی پواسون... و داده نشان داده شده باشد که این مدل‌ها به مدل‌های آسیب خمیری مشابه و در شکل ۱۵ نشان داده شده است. برای پس‌کشیده‌کردن از رشته فولادهای پس‌کشیدگی رتبه‌ی ۲۷۰ با سطح مقطع  $140 \text{ mm}^2$  استفاده می‌کنیم.



شکل ۹. مثال ۲.

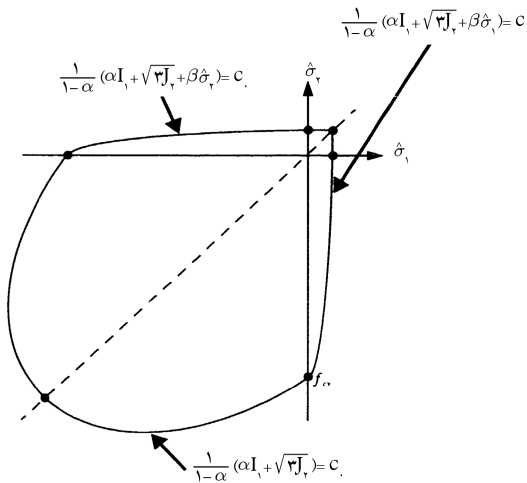


شکل ۱۰. پروفیل تندون‌ها در هر دو راستا در مثال ۲.

خلاصه‌ی نتایج تحلیل و طراحی در جدول ۶ آورده شده است. مقادیر مجاز تنش کششی و فشاری بیشینه نیز برای بتن با مقاومت  $50 \text{ Mpa}$  مکاپسکال در جدول ۴ آورده شده است. با توجه به اینکه دال در هر دو طرف متقاضن است، در هر دو راستا از نتایج طراحی جدول ۶ استفاده می‌کنیم:

جدول ۶. خلاصه‌ی نتایج تحلیل و طراحی در مثال ۲.

بارگذاری	تعداد	تندون‌ها	بار مرده	بار زنده	بیشترین تنش	بیشترین تنش	بیشترین تنش	میلگرد
پارکینگ	۵۸	۹/۰۸	۹/۰۸	۰/۰	۵/۰	۱/۳۴	۸/۹	۴۲Φ۱۲
مسکونی	۴۸	۹/۰۸	۹/۰۸	۰/۰	۵/۰	۰/۰	۵/۴۲	۳۴Φ۱۲


 شکل ۱۱. سطح تسلیم در فضای تنش‌های اصلی.<sup>[۱۴]</sup>

این مدل که ابتدا در سال ۱۹۸۹ ارائه شد<sup>[۱۲]</sup> و در سال ۱۹۹۸ تکمیل شد<sup>[۱۳]</sup> در برنامه‌ی اجزای محدود ABAQUS استفاده می‌شود و دارای سطح تسلیمی به صورت زیر است:

$$F = \frac{1}{1-\alpha} \left( \alpha \bar{I}_1 + \sqrt{3\bar{J}_2} + \beta H(\bar{\sigma}_{\max}) \right) - \bar{c}_k = 0 \quad (15)$$

در رابطه‌ی ۱۵،  $\alpha$  و  $\beta$  ضریب ثابت بی‌بعد هستند،  $H$  معروف تابع هویساید،  $\bar{\sigma}_{\max}$  اصلی بیشینه و  $\bar{c}_k$  چسبنده‌گی است که در دو حالت کششی و فشاری مقاومت است.  $\bar{I}_1$  نامتغیر اول تنش و  $\bar{J}_2$  نامتغیر دوم تنش انحرافی است و با رابطه‌های ۱۶ و ۱۷ تعریف می‌شوند:

$$\bar{I}_1 = \bar{\sigma}_{11} + \bar{\sigma}_{22} + \bar{\sigma}_{33} \quad (16)$$

$$\bar{J}_2 = \frac{1}{6} \left[ (\bar{\sigma}_{11} - \bar{\sigma}_{22})^2 + (\bar{\sigma}_{11} - \bar{\sigma}_{33})^2 + (\bar{\sigma}_{22} - \bar{\sigma}_{33})^2 \right] + \bar{\sigma}_{12}^2 + \bar{\sigma}_{13}^2 + \bar{\sigma}_{23}^2 \quad (17)$$

شکل این سطح تسلیم در فضای تنش‌های اصلی در شکل ۱۱ آورده شده است. تابع پتانسیل خمیری ( $F^p$ ) در مدل‌های بتنی برخلاف فلزات باید حتماً غیروابسته باشد تا بتواند رفتار بتن و مواد دانه‌ی را به خوبی نشان دهد. در این مدل از تابع پتانسیل خمیری دراکر پرآگر استفاده می‌شود.

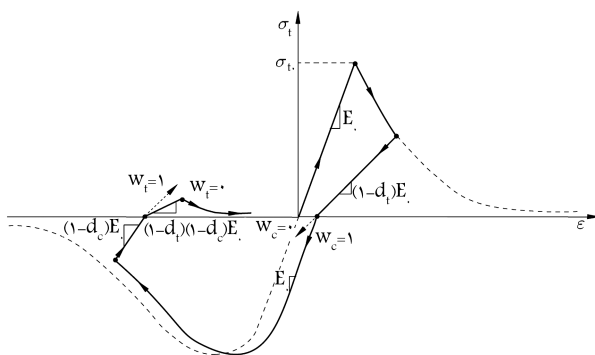
$$F^p = \sqrt{3\bar{J}_2} + \alpha_p \bar{I}_1 \quad (18)$$

و کرنش خمیری به صورت زیر محاسبه می‌شود:

$$\frac{\partial F^p}{\partial \bar{\sigma}} = \frac{\bar{S}_{ij}}{\sqrt{3\bar{J}_2}} + \alpha_p \delta_{ij} \quad (19)$$

$$\dot{\varepsilon}^p = \lambda \frac{\partial F^p}{\partial \bar{\sigma}} \quad (20)$$

در رابطه‌های ۱۸ الی ۲۰  $\alpha_p$  ضریب اتساع ماده است. پارامتر  $\alpha_p$  بگونه‌ی انتخاب می‌شود که انسیاست مصالح بتنی بین  $0/2$  تا  $0/3$  به دست آید.  $\bar{S}_{ij}$  تنش انحرافی،  $\lambda$  از شرط سازگاری به دست می‌آید و  $\dot{\varepsilon}^p$  نرخ تغییرات جزئی کرنش خمیری است.


 شکل ۱۲. حالات مختلف پارامتر  $w$  در تست تکمحوره.

محاسبه‌ی پارامترهای خرابی فشاری و کششی ( $d_c$  و  $d_t$ ) در حالت کلی مشکل است. محققانی از جمله لی و فنوینیز معادلاتی را برای به دست آوردن این پارامترها در کرنش‌های مختلف بیان کرده‌اند. همچنین در سال ۲۰۰۸ نشان داده شد که از رابطه‌های ۲۳ و ۲۴ می‌توان این پارامترها را به دست آورد:<sup>[۱۵]</sup>

$$d_c = 1 - \exp(-a_c \varepsilon^p) \quad (23)$$

$$d_t = 1 - \exp(-a_t \varepsilon^p) \quad (24)$$

که در این رابطه‌ها،  $a_c$  و  $a_t$  با کالیبره کردن پارامتر خرابی کششی و فشاری در تست تکمحوره‌ی کششی و فشاری و با توجه به کرنش خمیری بیشینه به دست می‌آیند.

$$d_c|_{\varepsilon_c^p = \varepsilon_{c,\max}^p} = 1 \quad (25)$$

$$d_t|_{\varepsilon_t^p = \varepsilon_{t,\max}^p} = 1 \quad (26)$$

این مدل آسیب خمیری دارای توانایی بالایی در شبیه‌سازی عددی رفتار بتن تحت بارگذاری‌های سه محوره و متناوب است. فولادها و تاندون‌ها به صورت تک محوره و با توجه به مقاومت نهایی شان مدل می‌شوند. با استفاده از توانایی نرم افزار ABAQUS در ثابت نگداشتتن تنش اولیه در تاندون‌ها (PRESTRESS HOLD) PRESTRESS (P) می‌توان پسکشیدگی در تاندون‌ها را به خوبی شبیه‌سازی کرد.<sup>[۱۷, ۱۸]</sup>

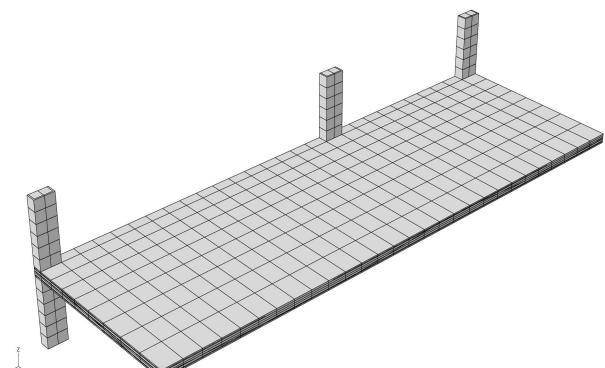
## ۲.۷. مدل خرابی لی و فنوینیز

برای نشان دادن خرابی رابطه‌های زیر بین تنش در دو پیکربندی ارائه شده‌اند:

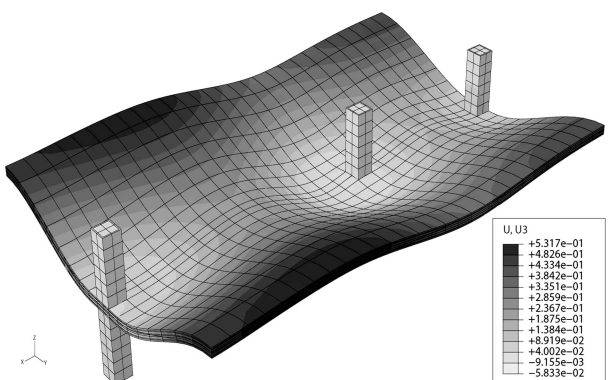
$$\sigma = [1 - D_k] \bar{\sigma} \quad (21)$$

$$D_k = 1 - (1 - d_c)(1 - (1 - w_k)d_t) \quad (22)$$

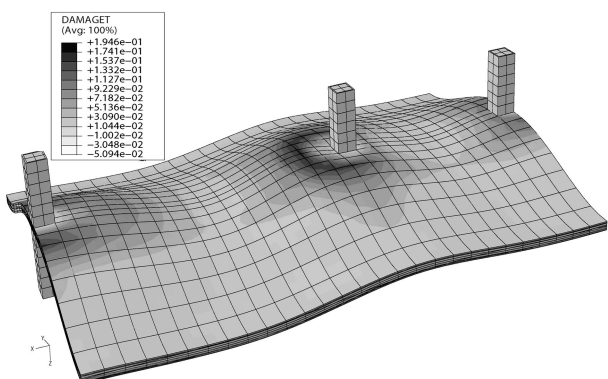
در این رابطه‌ها،  $D_k$  پارامتر خرابی معادل،  $d_c$  و  $d_t$  به ترتیب پارامتر خرابی فشاری و کششی و  $w_k$  پارامتر سخت شوندگی مجدد است که در حالتی که ماده از تنش فشاری به تنش کششی وارد شود برابر  $w_k = 0$  (ماده ترک می‌خورد و نمی‌تواند تنش کششی تحمل کند) و در حالتی که ماده از تنش کششی به تنش فشاری وارد شود برابر  $w_c = 1$  (ترک‌ها بسته می‌شود و ماده می‌تواند تنش فشاری تحمل کند) است. شکل ۱۲ حالات مختلف پارامتر  $w$  را در تست تکمحوره نشان می‌دهد. از نتایج آزمایشگاهی مشخص می‌شود که با افزایش کرنش، پارامتر خرابی در ماده افزایش پیدا می‌کند. در بارگذاری‌های متناوب، به دلیل باز و بسته شدن مکرر ترک‌ها، مکانیزم افزایش پارامتر خرابی سریع‌تر می‌شود.



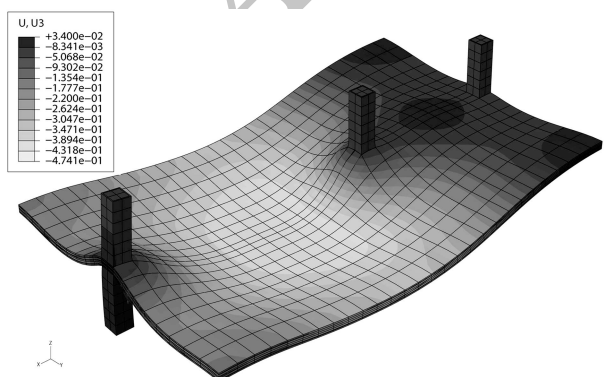
شکل ۱۳. مشبندی و نمای کلی از دال مثال ۱.



شکل ۱۴. تغییرمکان در حالت انتقال.



شکل ۱۵. خرابی در زیر دال در حالت انتقال.



شکل ۱۶. تغییرمکان در حالت بهره‌برداری.

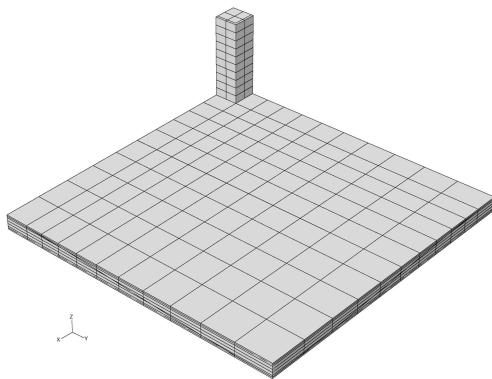
## ۸. شبیه‌سازی عددی مثال ۱

پلان این دال در شکل ۱ نشان داده شده است. مقاومت نهایی مصالح مصرفی در جدول ۱ آورده شده است و ضرایب ثابت بتن برای شبیه‌سازی عددی در جدول ۷ آورده شده است. همچنین تعداد تاندون‌ها و میله‌گردها در هر دو راستا در جداول ۳ و ۵ آورده شده‌اند.

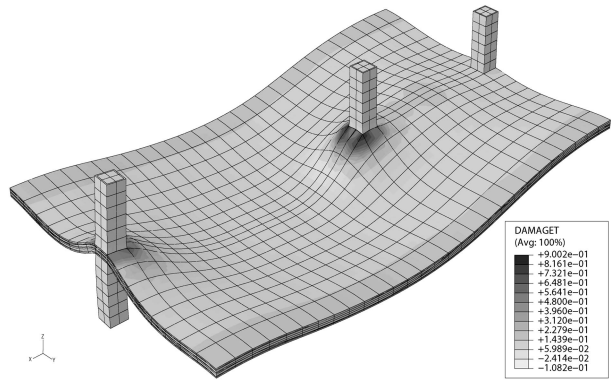
شبیه‌سازی برای کاربری پارکینگ و با استفاده از ۱۹ تاندون که در راستای محور x انجام شده است، را به صورت المان‌های محوری ۳ گرهی درنظر می‌گیریم. با توجه به اینکه دال به صورت پس‌کشیده اجرا می‌شود، ابتدا نیرو در درون تاندون‌ها را ثابت درنظر می‌گیریم. پس از آن افت‌های به وجود آمده در تاندون‌ها را برابر حالت انتقال درنظر می‌گیریم. پس از آن درنظر می‌گیریم و نیروی موجود در تاندون‌ها را برابر حالت بهره‌برداری درازمدت را درنظر می‌گیریم و نیروی موجود در تاندون‌ها را برابر حالت بهره‌برداری درنظر می‌گیریم و در انتهای بار را به صورت تدریجی وارد می‌کنیم. این بار شامل بار زنده و روسازی سازه است. در شکل ۱۳ مشبندی دال و نمای کلی از آن نشان داده شده است. در شکل ۱۴، تغییرمکان در حالت انتقال نشان داده شده و مشخص است که خیز مشبت (رو به بالا) در این دال در حالت انتقال حدود ۰,۵۳ سانتی‌متر است. خرابی در زیر دال که در شکل ۱۵ نمایش داده شده است، مشخص می‌سازد که خرابی در قسمت زیرین تکیه‌گاه‌ها به وجود می‌اید. البته مقدار خرابی بسیار ناچیز است و بیشینه در حدود ۰,۰۲ است، ولی فرض آینه نامه در مورد بدون ترکبودن مقطع در این حالت برآورده نمی‌شود. در شکل ۱۶، نیز تغییرمکان این دال در حالت بهره‌برداری آورده شده است. در قسمت‌های بسیاری از دال خیز هنوز مشبت است و این نشان می‌دهد که مقدار پس‌کشیدگی بیش از مقدار لازم است، چون با وجود واردشدن تمام بار زنده‌ی پارکینگ (۵ مگاپاسکال) و تمام بار مرده و وزن خود دال هنوز تغییرمکان منفی (رو به پایین) به ۰,۴۷ سانتی‌متر می‌رسد که بسیار کمتر از مقدار مجاز آینه نامه است. و این نشان دهنده‌ی پس‌کشیدگی زیاد در هر دو راستاست. درنهایت، در شکل ۱۷ خرابی در حالت بهره‌برداری آورده شده است که باز هم فرض آینه نامه در مورد بدون ترکبودن این دال‌ها در حالت بهره‌برداری رعایت نمی‌شود و خرابی در این حالت به حدود ۰,۹ می‌رسد. البته این خرابی در قسمت بسیار کوچکی اتفاق می‌افتد و تأثیر زیادی بر روی سازه ندارد، ولی فرض آینه نامه مبنی بر بدون ترکماندن دال در هیچ‌کدام از دو حالت انتقال و بهره‌برداری رعایت نمی‌شود.

جدول ۷. ضرایب ثابت بتن برای شبیه‌سازی عددی.

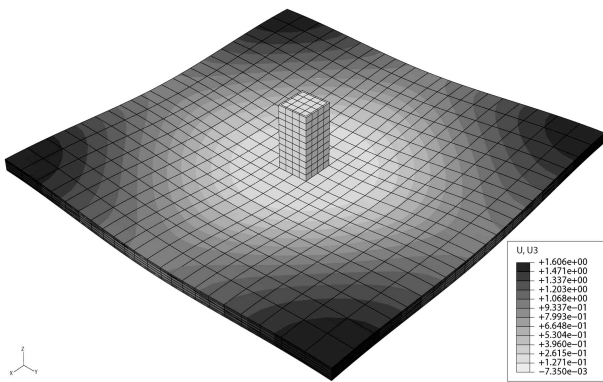
مقدار	مشخصات بتن
۳۸,۸	E مدل یانگ اولیه (GPa)
۰,۲	ν ضریب پواسون
۵۰	$f_c'$ مقاومت نهایی فشاری (MPa)
۴,۹	$f_t'$ مقاومت نهایی کششی (MPa)
۰,۲	$\alpha_p$ ضریب اتساع
۰,۱۲	$\alpha$ ثابت ماده در سطح تسایم
۷,۷	$\beta$ ثابت ماده در سطح تسایم
۰,۰۰۰۷۶	$E_{c, max}^p$ کرنش گسیختگی فشاری بتن
۰,۰۰۰۹	$E_{t, max}^p$ کرنش گسیختگی کششی بتن



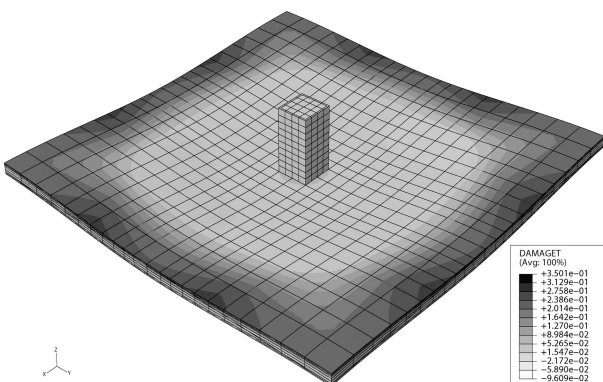
شکل ۱۸. نمای کلی از دال و مشینبندی مثال ۲.



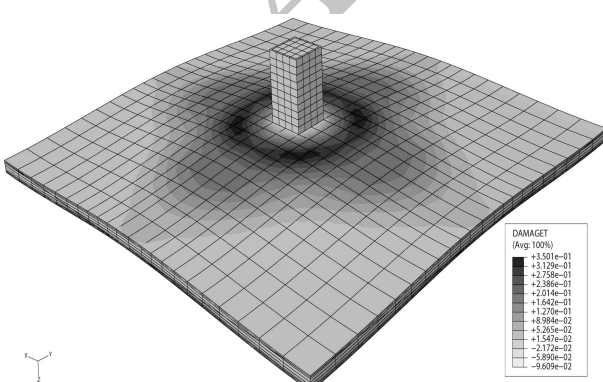
شکل ۱۷. خرابی در حالت بهره‌برداری.



شکل ۱۹. تغییرمکان در حالت انتقال.



شکل ۲۰. خرابی در روی دال در حالت انتقال.



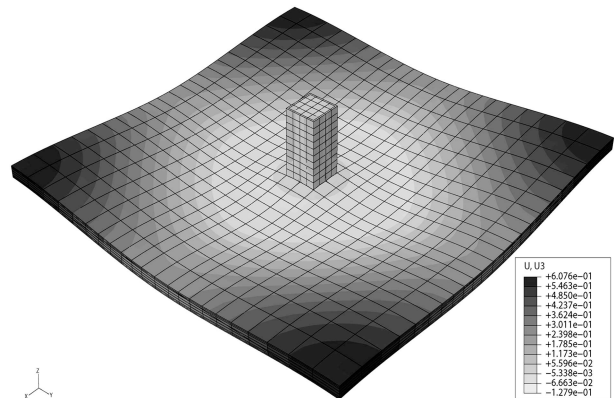
شکل ۲۱. خرابی در زیر دال در حالت انتقال.

## ۹. شبیه‌سازی عددی مثال ۲

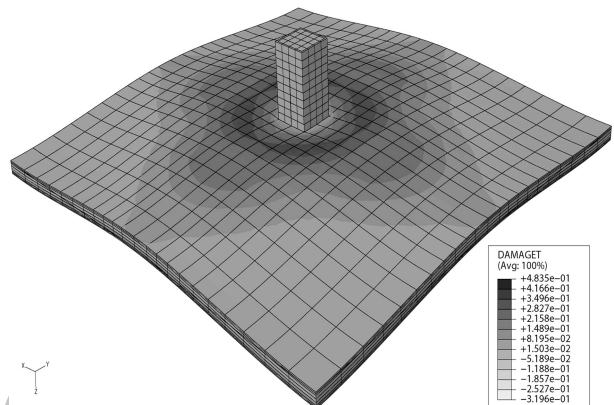
پلان این دال میانی در شکل ۹ نشان داده شده است. مشخصات مصالح مصرفی در جدول و ضرایب ثابت بتن برای شبیه‌سازی عددی در جدول ۷ و همچنین تعداد تاندون‌ها و میلگرد‌ها در هر دو راستا در جدول ۶ آورده شده و شبیه‌سازی برای کاربری پارکینگ انجام شده است. نحوی بارگذاری این مسئله مشابه مثال قبلاً است. با توجه به تقارن دال در هر دو جهت یک چهارم این دال تجزیه و تحلیل عددی می‌شود. در آنالیز عددی این دال برای بتن از المان‌های درجه بالای ۲۰ گرهی سرندیپیتی استفاده می‌کنیم و فولادها را به صورت المان‌های محوری ۳ گرهی در نظر می‌گیریم. شکل ۱۸ نمای کلی از دال و مشینبندی نموده را نشان می‌دهد. در شکل ۱۹ تغییرمکان در حالت انتقال نشان داده شده است. مشخص است که خیز مثبت (رو به بالا) در این دال در حالت انتقال حدود ۱/۶ سانتی‌متر است که بسیار زیاد می‌باشد. مقداری خرابی در قسمت زیرین در مجاورت تکیگاه‌ها و قسمت بالای دال در وسط دهنه به وجود می‌آید، خرابی در روی دال در شکل ۲۰ و در زیر دال در شکل ۲۱ نمایش داده شده است (در حالت انتقال). البته مقدار بیشینه‌ی خرابی در حدود ۰/۳۵ است که بسیار ناچیز است، ولی فرض آین نامه در مورد بدون ترک بودن مقطع در این حالت و در این دال نیز برآورده نمی‌شود. در شکل ۲۲ نیز تغییرمکان این دال در حالت بهره‌برداری آورده شده است. در تمام قسمت‌های دال خیز هنوز مشبت است و این نشان می‌دهد که مقدار پس‌کشیدگی بیش از مقدار لازم است، چون با وجود واردشدن تمام بار زنده‌ی پارکینگ (۵ مگا‌پاسکال) و تمام بار مرده و وزن خود دال هنوز تغییرمکان در دال مشبت (رو به بالا) است و مقدار آن به ۶۰/۰ سانتی‌متر می‌رسد. در این مثال بیشتر این نکته مشخص می‌شود که پس‌کشیده‌کردن این دال‌ها در هر دو جهت غیراقتصادی است. در نهایت، در شکل ۲۳ خرابی در زیر دال در حالت بهره‌برداری آورده شده است که باز هم فرض آین نامه در مورد بدون ترک بودن این دال‌ها در حالت بهره‌برداری رعایت نمی‌شود و خرابی در این حالت به حدود ۰/۴۸ می‌رسد. البته این خرابی در قسمت بسیار کوچکی اتفاق می‌افتد و تأثیر زیادی بر روی سازه ندارد، ولی فرض آین نامه مبنی بر بدون ترک ماندن دال همانند مثال قبل در هیچ‌کدام از دو حالت انتقال و بهره‌برداری رعایت نمی‌شود (بند ۳.۱۸.۳). با توجه به اینکه مقدار پس‌کشیدگی در دال فوق بیش از مقدار مورد نیاز است حال به تجزیه و تحلیل همین دال با همین مشخصات با استفاده از تاندون‌های ضعیف‌تر می‌پردازیم. سطح مقطع تاندون‌ها و فاصله‌ی آن‌ها را به گونه‌ی انتخاب می‌کنیم که معادل درصدی از پس‌کشیدگی کل شود. در جدول ۸، مقایسه‌ی بین طراحی برای پس‌کشیدگی با تاندون‌هایی با سطح مقطع‌های مختلف انجام شده است.

چنان‌که مشاهده می‌شود، بهترین حالت برای پس‌کشیدگی ۷۰٪ اتفاق می‌افتد، چون خیز دال مناسب و بیشینه‌ی خرابی نیز ۶۲٪ است. نتایج این حالت را در اشکال ۲۴ الی ۲۶ بررسی و با پس‌کشیدگی برای ۱۰۰٪ بار در هر جهت مقایسه می‌کنیم. در شکل ۲۴، تغییرمکان در حالت انتقال نشان داده است. مشخص است که خیز مثبت (رو به بالا) در این دال در حالت انتقال حدود ۵۹٪ سانتی‌متر است که مناسب‌تر از حالت قبل است. خرابی در زیر دال در شکل ۲۵ نمایش داده شده است. البته مقدار خرابی کمتر از حالت قبل است و بیشینه در حدود ۴٪ است. تغییرمکان این دال در حالت بهره‌برداری در تمام قسمت‌های دال خیز منفی است و این نشان می‌دهد که مقدار پس‌کشیدگی مناسب است، چون با وجود واردشدن تمام بار زندگی پارکینگ (۵ مگاپاسکال) و تمام بار مرده و وزن خود دال تغییرمکان در دال منفی (رو به پایین) است و مقدار آن به ۵۱۶٪ سانتی‌متر می‌رسد که مقدار مناسبی است و کمتر از مقادیر مجاز آین نامه است. در این مثال نیز این نکته مشخص می‌شود که پس‌کشیده‌کردن این دال‌ها در هر دو جهت برای ۱۰۰٪ بار غیرايكتصادي است و می‌توان با پس‌کشیده‌کردن مقدار کمتری از بار (در این مثال ۷۰٪) نتایج خوبی به دست آورد.

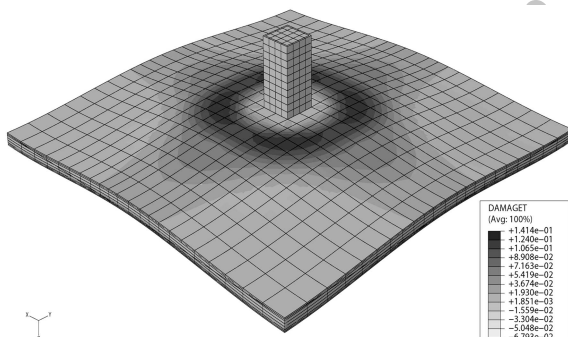
درنهایت، در شکل ۲۶ خرابی در روی دال در حالت بهره‌برداری آورده شده است که باز هم فرض آین نامه در مورد بدون ترک بودن این دال‌ها در حالت بهره‌برداری رعایت نمی‌شود و خرابی در این حالت به حدود ۶۲٪ می‌رسد. البته این خرابی در قسمت بسیار کوچکی اتفاق می‌افتد و تأثیر زیادی بر روی سازه ندارد، ولی فرض آین نامه مبنی بر بدون ترک ماندن دال همانند مثال‌های قبلی در هیچ‌کدام از دو حالت انتقال و بهره‌برداری رعایت نمی‌شود (بند ۱۸.۳.۳). خرابی در زیر دال بسیار ناچیز است و از نمایش آن صرف نظر کردۀایم. مشاهدات عینی اجرای چندین ساختمان در تهران که در آن‌ها از دال‌های پس‌کشیده استفاده شده است، نیز حاکی از اجرای دال‌های دوطرفه‌ی پس‌کشیده است و معمولاً در پس‌کشیده‌کردن دال‌ها برای کاهش



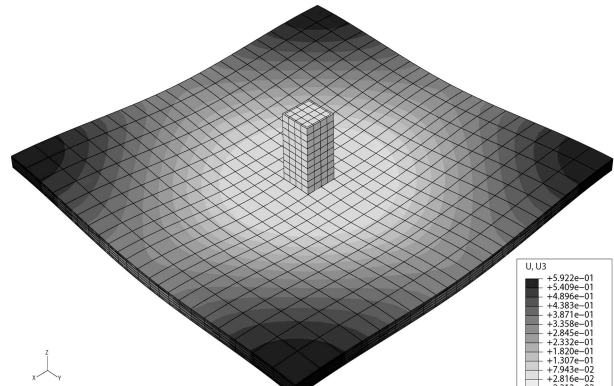
شکل ۲۲. تغییرمکان در حالت بهره‌برداری.



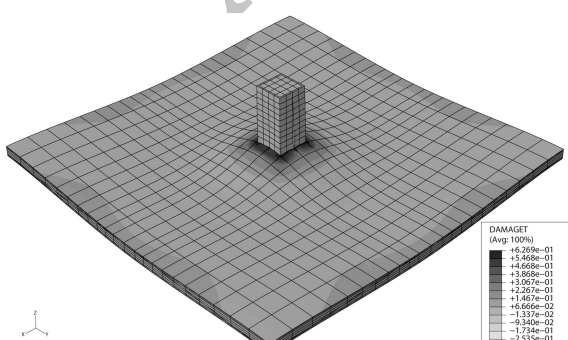
شکل ۲۳. خرابی در زیر دال در حالت بهره‌برداری.



شکل ۲۵. خرابی در زیر دال در حالت انتقال.



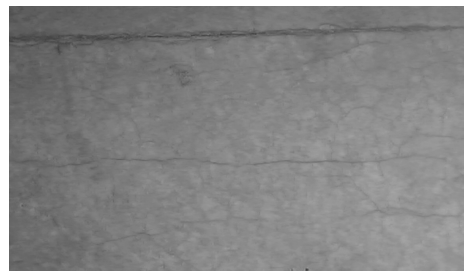
شکل ۲۴. تغییرمکان در حالت انتقال.



شکل ۲۶. خرابی در روی دال در حالت بهره‌برداری.

جدول ۸. مقایسه‌ی بین طراحی برای پس‌کشیدگی با تاندون‌هایی با سطح مقطع‌های مختلف.

پس‌کشیدگی	%۶۰	%۷۰	%۸۰	%۹۰	%۱۰۰
خرابی در انتقال	۰,۰۴	۰,۱۴	۰,۲۱	۰,۳۱	۰,۳۵
تغییرمکان در انتقال	۰,۲	۰,۵۹	۰,۸۶	۱,۱۵	۱,۶
خرابی در بهره‌برداری	۰,۹۲	۰,۶۲	۰,۵۸	۰,۵۳	۰,۴۸
تغییرمکان در بهره‌برداری	-۱,۱۲	-۰,۵۱	-۰,۲۷	۰,۲۴	۰,۶۱



در طراحی دال به صورت پسکشیده، فرض فوق تا حدودی درخلاف جهت اطمینان است. بدین معنی که طبق تعریف باید دال پسکشیده در هر دو جهت برای ۱۰۰٪ بار پسکشیده شود. در این صورت با پسکشیده کردن دال در دو جهت و طراحی آن به روش بار معادل، تاندون های پسکشیدگی هر کدام یک نیرو به سمت بالا به دال وارد می‌کنند. بدین ترتیب بر اثر پسکشیدگی در جهت عرض دال یک بار عمود بر دال و به سمت بالا به وجود می‌آید و به همین ترتیب بر اثر پسکشیدگی در جهت طول دال یک بار عمود بر دال و به سمت بالا به وجود می‌آید. در این صورت در حالت انتقال و در موقعی که بار زنده زیادی برای سازه لحاظ شود، پسکشیدگی بیش از حد باعث ترک خودگی مقطع در حالت انتقال (نیوپ بار زنده) می‌شود.

در این نوشتار سعی شده است چند دال پسکشیده براساس آین نامه طراحی شوند. سپس با استفاده از مدل آسیب خیری همسان‌گرد برای شبیه‌سازی رفتار مصالح بتمنی، دال‌ها با روش اجزای محدود تحلیل شده‌اند و این نتایج مشاهده شده است:

۱. فرض آین نامه مبنی بر بدون ترک ماندن دال (بند ۱۸.۳.۳) در هیچ‌کدام از دو حالت انتقال و بهره‌برداری رعایت نمی‌شود. نتایج شبیه‌سازی عددی و مشاهدات عینی ساختمان‌های در حال اجرا نشان می‌دهد که دال در حالت انتقال و بهره‌برداری ترک می‌خورد.

۲. در آین نامه، دال‌ها در هر جهت به زیرنوارهایی تقسیم می‌شوند و نوارهای طراحی به صورت یک طرفه برای ۱۰۰٪ بار طرح می‌شوند و این عمل در دال‌های پسکشیده باعث خیز معکوس و درخلاف جهت اطمینان است.

۳. براساس نتایج بدست‌آمده در شبیه‌سازی اجزای محدود، طراحی برای حالتی که ۷۰٪ بار در هر راستا پسکشیده شود و بقیه بار با میلگرد های معمولی به تعادل برسد، مناسب‌تر از طراحی برای حالتی است که ۱۰۰٪ بار در هر راستا پسکشیده شود.

شکل ۲۷. نمایی از موقعیت ترک با عرض زیاد در دال سقف پسکشیده دو طرفه قبل از بهره‌برداری سازه.

خیز از تاندون‌های زیادی استفاده می‌شود و طبق آین نامه برای ۱۰۰٪ بار در هر دو راستا پسکشیده می‌شود. این امر منجر به ترک خودرن مقطع در حالت انتقال است. همچنین مشاهدات عینی و باقت اجرای سقف‌های پسکشیده دو طرفه در کشور دلالت بر موقعیت ترک‌های با عرض بیش از یک میلی‌متر قبل از بهره‌برداری از سازه است که بسیار بیش از حد مجاز آین نامه هاست. در شکل ۲۷، نمایی از موقعیت ترک با عرض زیاد در دال سقف پسکشیده دو طرفه قبل از بهره‌برداری سازه آورده شده است.

## ۱۵. نتیجه‌گیری

در آین نامه برای طراحی دال‌های بتن مسلح (غیرپسکشیده)، دال‌ها در هر جهت به زیرنوارهایی تقسیم می‌شوند و نوارهای طراحی به صورت یک طرفه طرح می‌شوند. این خود حاکی از دستی بالا در نظر گرفتن طراحی دال‌ها در روش‌های مستقیم و قاب معامل است. چون کل بار ۷۶٪ بین چهار طرف دال تقسیم می‌شود، نمی‌توان ۱۰۰٪ بار را یک بار به نوار جهت طول و بار دیگر به نوار جهت عرض دال تقسیم کرد. حال

## منابع (References)

- Maghsoudi, A.R. and Javanmardi, M.R., Analytical Problems of Post-tensioned Concrete slabs in initial and service Condition, 4th National congress on Civil engineering, Tehran University (2008).
- ACI318-2005, *Building Code Requirements for Structural Concrete*, American Concrete Institute (2005).
- NOTES ON ACI318-2002, *Building Code Requirements for Structural Concrete*, American Concrete Institute (2002).
- Nilson, A.H., *Design of Prestressed Concrete*, Second Edition (1987).
- Khaloo, A.R., Dsign of Prestressed Concrete Structures, Sineh Sorkh Publication (2004).
- Kachanov, L.M., "On rupture time under condition of creep", *Izvestia Akademii Nauk USSR, Otd.Techn. Nauk, Moskwa*, **8**, pp. 26-31 (1958).
- Rabotnov, Y.N., *On the Equations of State for Creep*, In: Progress in Appl. Mech.-The Prager Anniversary Volume, MacMillan, New York, pp. 307-315 (1963).
- Lemaitre, J., "A continuous damage mechanics model for ductile fracture", *Journal Engineering Mat. Tech.*, **107**, pp. 83-89 (1985a).
- Lemaitre, J., "Coupled elasto-plasticity and damage constitutive equations", *Comp. Meth. Appl. Mech. Engineering*, **51**, pp.31-49 (1985b).
- Lemaitre, J. and Chaboche, J.L. "Mechanics of solid materials", Cambridge University Press, London (1990).
- Voyiadjis, G.Z.; Taqieddin, Z.N. and Kattan, P.I. "Anisotropic damage-plasticity model for concrete", *International Journal Plasticity*, **24**(10), pp. 1946-1965 (2008).
- Yazdani, S. and Schreyer, H.L. "Combined plasticity and damage mechanics model for plain concrete", *Journal Engineering Mech. ASCE*, **116**(7), pp. 1435-1450 (1990).
- Lubliner, J.; Oliver, J.; Oller, S. and Onate, E. "A plastic damage model for concrete," *International Journal of Solids and Structures*, **25**(3), pp. 299-326 (1989).
- Lee, J. and Fenves, G.L. "A plastic-damage model for cyclic loading of concrete structures", *Journal Engineering Mech., ASCE*, **124**(8), pp. 892-900 (1998).
- Koh, C.G.; Teng, M.Q. and Wee, T.H. "A plastic-damage model for lightweight concrete and normal weight concrete", *International Journal of Concrete Structures and Materials*, **2**(2), pp. 123-136 (2008).
- ABAQUS Theory Manual, version 6.8.1, SIMULIA (2008).
- Tandler, J. "Collapse analysis of externally prestressed structures", BoD-Books on Demand (2009).